

شبیه سازی جریان آشفته در یک سیکلون

احمد رضا عظیمیان^۱، احمد صداقت^۲، سید ایمان روح الامین^۳

دانشکده مکانیک-دانشگاه صنعتی اصفهان

E-mail: azimian@cc.iut.ac.ir

چکیده

در این مقاله سعی شده است، معادلات حاکم بر جریان سیال آشفته در یک سیکلون، با استفاده از روش حجم‌های محدود و به کمک الگوریتم سیمبل-سی، حل گردد. تنشهای رینولدز با استفاده از دو مدل $RNG k-\epsilon$ و RSM محاسبه می‌شوند، برای تحلیل جریان با آشفتگی بالا هندسه ای از یک سیکلون استیرمان با حدود ۵۰۰۰۰۰ المان بصورت بی‌سازمان تهیه شده و سپس به کمک جداسازی‌های مرتبه سه (*Quick*) معادلات حاکم حل شده‌اند. نتایج مدل RSM توافق خوبی را با داده‌های تجربی، در سرعتهای مملوی و محوری نشان می‌دهند، درحالی که نتایج مدل $k-\epsilon$ RNG در سرعتهای مملوی دارد ولی سرعتهای محوری را تنها در نقاط محیطی سیکلون، که تنشها همگن هستند، می‌تواند پیش‌بینی کند. بخصوص این مدل در پیش‌بینی جریان برگشتی هسته سیکلون ناتوان است. بنابراین مدل $RNG k-\epsilon$ در جریانهای همگن یا جریانهای آشفته در سرعتهای کم قابل استفاده است، و مدل مناسب برای تحلیل جریان آشفته در سیکلون، مدل RSM می‌باشد.

واژه‌های کلیدی: $RNG k-\epsilon$ - RSM -اغتشاشات ناهمگن-سیکلون استیرمان.

مقدمه

وجه مشخصه سیکلون نسبت به دیگر وسائل جدا کننده غبار این است که در این وسیله عامل جدایش غبار، نیروی گردیز از مرکزی می‌باشد که توسط جریان گاز چرخنده در سیکلون اعمال می‌گردد. همانند اکثر وسائل صنعتی، اگر بتوان جریان داخل محفظه سیکلون را بدسترسی بیش بینی کرد می‌توان تحلیل صحیحی از راندمان و افت فشار سیکلون بدست آورد . و یا حتی راندمان وسیله را بهبود پختشید. بر این اساس داده‌ای از مایشگاهی عملکرد سیکلونها [۱] ، در دهه های ۲۰ و ۴۰ میلادی با استفاده از روش‌های: لوله کاربرد لیزر (Laser Doppler) اندازه گرفته می‌شدند، که استفاده از این وسائل بسیار وقت گیر بوده و هزینه آنها هم بسیار بالا است.

جاداکننده سیکلون، یکی از مشهورترین وسائل جدا کننده گرد و غبار است که در صنعت یافت می‌شود. این وسیله جدا کننده دارای مزایای ویژه‌ای است که (در محدوده تغییر اندازه بخصوصی از غبار) سبب برتری آن می‌شود، از جمله این مزایا می‌توان به عدم وجود قطعات متجرک در سیکلون ، امکان کار در دمایهای بالا ، امکان ساخت از مواد مختلف را نام برد . که به همراه افت فشار متوسط . گستره گذردگی حجم سیالی و بازده مناسب در سیستمهای گاز- جامد و گاز- مایع آن را به یکی از بهترین وسائل جدا کننده غبار در صنایع مختلف تبدیل کرده است.

^۱ استاد

^۲ استادیار

^۳ دانشجوی کارشناسی ارشد

روش در جریانهای پیچنده سریع با ناهمسانگردی زیاد
مورد ارزیابی قرار گیرد.

معادلات حاکم:

معادلات حاکم بر جریان گاز در یک سیکلون، معادلات
پیوستگی و ممنتوم هستند. که در یک سیستم مختصات
غیر شتابدار، برای حالت پایدار، در یک جریان غیر قابل
تراکم بین صورت نوشته می شوند:

$$\frac{\partial}{\partial x_i} (u_i) = 0 \quad (1)$$

$$\rho \frac{\partial}{\partial x_j} (u_i u_j) = - \frac{\partial P}{\partial x_i} + \quad (2)$$

$$\begin{aligned} \frac{\partial}{\partial x_j} \left[\mu \left(\frac{\partial u_i}{\partial x_j} + \frac{\partial u_j}{\partial x_i} - \frac{2}{3} \delta_{ij} \frac{\partial u_l}{\partial x_l} \right) \right] \\ + \frac{\partial}{\partial x_j} (-\rho u'_i u'_j) \end{aligned}$$

این معادلات دارای شکل کلی معادلات نویر استوکس
هستند، که با متوسط گیری زمانی این معادلات جمله
اضافی تنشهای رینولدز به سمت راست معادله افزوده شده
است. برای بستن دستگاه معادلات فوق باید تنشهای
رینولدز بطرز صحیحی مدل گردد. یک روش متداول
استفاده از روش بوزینسک (Boussinesq)، است که
تنشهای رینولدز را به گرادیان سرعت متوسط مربوط می
کند و به عنوان مثال این شیوه در مدل $RNG k-\epsilon$
استفاده شده است:

$$-\rho \overline{u'_i u'_j} = \mu \left(\frac{\partial u_i}{\partial x_j} + \frac{\partial u_j}{\partial x_i} \right) - \frac{2}{3} \left(\rho k + \frac{\partial u_i}{\partial x_j} \right) \delta_{ij} \quad (3)$$

روش حذف مقیاس در $RNG k-\epsilon$ منجر به معادله
دیفرانسیل زیر، برای ویسکوزیته مغلوط می شود:

$$d \left(\frac{\rho^2 k}{\sqrt{\epsilon \mu}} \right) = 1.72 \frac{\hat{\nu}}{\sqrt{\hat{\nu}^3 - 1 + c_v}} d \hat{\nu} \quad (4)$$

که $\frac{\mu_{eff}}{\mu} = \frac{\mu_{eff}}{\mu}$ بوده و $c_v \approx 100$ می باشد. این معادله
در نواحی با رینولدز پایین جواب مناسب تری نسبت به

در سالهای اخیر با ظهور کامپیوترهای دیجیتال قوی،
وسایلی فراهم شده است که بتوان با استفاده از مدلهای
ریاضی، جریانهای داخل سیکلون را پیش بینی کرد. هر
چند این روشها نیز به نوبه خود توسط محدودیتهای سخت
افزاری و نرم افزاری، حافظه در دسترس و مقدار واحد
پردازشگر مرکزی (CPU) که برای شبیه سازی لازم است
مواجهند، که این عوامل خود را در انتخاب مدل فیزیکی و
اقتفاشی مناسب در مقالات مختلف نماینده است.

اولين نتائج بدست آمده در مدلسازی سیکلونهای گازی
توضیح بوسان و همکارانش [۲] ارائه شد. آنها با این فرض
که جریان داخل سیکلون نسبت به محور سیکلون دارای
تقارن می باشد، یک هندسه دو بعدی را با استفاده از مدل
تنشهای جبری برای محاسبه شش مولفه تنش رینولدز
استفاده نمودند، که با توجه به ورونوی نا مقارن سیکلون و
ناهمسانگردیهای موجود در هسته جریان، این فرض از
اعتبار پایینی برخوردار بود.

از دیگر شبیه سازهای تقارن محوری می توان به پژو-
هشهای صورت گرفته توسعه: بوسان و همکارانش [۳] و
دیویدسون و همکارانش [۴] اشاره کرد، که به علت
محدودیت مربوط به دو بعدی بودن، نتایج آنها قابل استناد
نیست. با افزایش قدرت محاسباتی کامپیوترها و به علت
نامناسب بودن هندسه های تقارن محوری، تلاشهای
محاسباتی به تحلیل هندسه های سه بعدی گرایش یافت،
که از جمله این تحقیقات می توان به پژوهشگاهی صورت
گرفته توسعه: زو و سو (Zhou and Soo) در دهه ۹۰، بر
اساس مدل $k-\epsilon$ ، کیم و لی [۵] بر اساس مدل RSM،
دیاکووسکی و ولیلمز (Dyakowski and Williams)، بر
اساس یک مدل پیشرفته $k-\epsilon$ گریفیس و بوسان
(Griffiths and Boyson) بر اساس مدل $k-\epsilon$ ،
گورتون [۶] بر اساس مدل RSM، هوکاگسترا و همکارانش
[۷] بر اساس مدل $k-\epsilon$ استناده رند و فردر -
پکسون [۸] بر اساس مدل RSM را اشاره کرد.

در این مقاله یک سیکلون بازده بالای نوع استیرمان با
هندسه نشان داده شده در شکل (۱) با استفاده از
مدلهای RSM و $RNG k-\epsilon$ شبیه سازی شده و نتایج
حاصل با نتایج آزمایشگاهی موجود مقایسه شده اند.
همچنین سعی شده تا با بررسی تواناییهای هر مدل در پیش
بینی الگوی جریان در مقاطع مختلف سیکلون، دقت این دو

آزمایشی اسلak و همکارانش [۱۲]، مقایسه شده است. در شکل‌های (۴) تا (۱۱) توزیع سرعت مماسی جریان در مقاطع مختلف براساس روش‌های $RNG k - \epsilon$ و RSM به همراه نتایج آزمایشگاهی، نشان داده شده است. همانطور که مشاهده می‌شود، روش RSM در تخمین سرعت مماسی جریان اطراف سیکلون در تملیق مقاطع، تطبیق بسیار خوبی را نشان می‌دهد، عدم تطابق ناچیز موجود در مقاطع ۰/۲۲ در نواحی محیطی احتمالاً به علت نفوذ جریان راهگاه ورودی است. در مقاطع دیگر تا مقاطع ۰/۴۱ با افت قدرت گردیدار داخلی این تطبیق بهتر می‌شود و در مقاطع ۰/۵۹ به بعد که سرعت مماسی جریان افزایش یافته و جریان شتاب می‌گیرد دو مرتبه این تطبیق کمتر می‌شود، بخصوص در مقاطع ۰/۷۷. این موضوع نمایان تر است و مدل RSM نیز در این مقاطع، بیشترین سرعت مماسی را با دقت تخمین نمی‌زند. این روند در سرعت مماسی مرکز سیکلون برعکس است، و هر جایی که بیشترین سرعت مماسی افزایش یافته مقداری مربوط به مدل RSM به نتایج تجربی نزدیکتر شده است، به هر حال در مورد جریان هسته سیکلون به علت تشکیل گردابه‌ها و نوسانات سرعت موجود نمی‌توان بحث کرد. روش RNG با دقت کمتر این رفلار جریان را تخمین می‌زند، و همانطور که از توالی پروفیلهای سرعت مماسی در مقاطع مختلف پیدا است با پیشروی جریان در راستای محوری، این روش الگوی جریان را به صورت یک ورتكس اجرایی تخمین زده است، و بیشترین حد سرعت مماسی به دیواره‌ها متمایل شده است. در شکل‌های (۱۲) تا (۱۹) توزیع سرعت محوری جریان در مقاطع مختلف براساس روش‌های RSM و $RNG k - \epsilon$ به همراه نتایج آزمایشگاهی، نشان داده شده است. در روش RSM دقت تعیین سرعت محوری با پیشروی جریان و افزایش سرعت مماسی در ناحیه سینلندری سیکلون یعنی تا مقاطع ۰/۶۶ کاهش می‌یابد، ولی با ورود جریان به ناحیه مخروطی دقت محلیات در هسته جریان بهتر می‌شود. به هر حال روش RSM توزیع سرعت محوری را نیز تا حدود زیادی تخمین می‌زند، بخصوص در هسته مرکزی جریان که ساختار جریان بطور کامل سه بعدی بوده و همراه با ناهمسانگردی نتشن‌ها می‌باشد، این روش قادر به پیش‌بینی جریان معکوس ایجاد شده در جریان است. این در حالی است که، مدل RSM

$k - \epsilon$ - استاندارد، برای μ_m می‌دهد و در رینولدز‌های بالا تقریباً با حالت استاندارد برابر است. روش دیگر برای مدل کردن نتشهای رینولدز، استفاده از معادلات انتقالی برای هر عبارت در تلسور نتش است، که با یک معادله اضافی برای تعیین مقیاس (معمولًا برای ϵ)، پنج معادله اضافی در حالت دو بعدی و هفت معادله اضافی در حالت سه بعدی ایجاد می‌نماید [۱۰، ۱۱] و [۱۲].

هندسه سیکلون و شرایط حل:

شکل بندی سیکلون مورد بررسی در شکل (۱) نشان داده شده است. این یک سیکلون بازده بالای نوع استیرمان با قطر بدنه $D = ۰/۲۰۵ m$ و قطر لوله خروجی ($d = D/2$)، finder هوای ترکم ناپذیر با دانسیته $\rho = 1.225 \frac{kg}{m^3}$ و ویسکوزیته $\mu = 1.7894 * 10^{-5} \frac{kg}{ms}$ است که با دنی $0.08 \frac{m^3}{s}$ از سیکلون عبور می‌کند. برای بررسی الگوی جریان، از هندسه ای با شبکه چند ساختاری (block structured) با حدود ۵۰۰۰۰ المان حجمی نظری آنچه که در شکل‌های (۲) و (۳) نشان داده شده است، استفاده شده است. المانهای محیطی سیکلون از نوع شش وجهی و در قسمت هسته مرکزی از نوع ترکیبی است، برای دخول جریان از شرط مرزی سرعت ورودی و در مرز خروجی جریان از شرط فشار خروجی، استفاده شده است. شرایط روی دیواره عدم لغزش بوده و به منظور در نظر گرفتن اثرات گرادیان فشار بر الگوی جریان از توابع دیوار غیر تعادلی، استفاده شده است. تمام نتایج آمده در این بررسی بر اساس روش گسسته سازی درجه سه بوده و برای ایجاد کوبل مابین معادلات پیوستگی و ممنوع از الگوریتم سیمیل-سی استفاده شده است.

نتایج:

به منظور مقایسه پیش‌بینی‌ها با نتایج آزمایشگاهی نتایج حاصل از شبیه سازی در مقاطعی با فواصل $۰/۴۱$ ، $۰/۴۲$ ، $۰/۴۳$ ، $۰/۴۴$ ، $۰/۴۵$ ، $۰/۴۶$ و $۰/۴۷$ از رأس سیکلون در دو راستای مماسی و محوری استخراج شده و با نتایج

مرکزی جریان و استفاده از گستته سازیهای درجه دو و بالاتر توصیه می شود. مدل تنشهای رینولدز با توجه به ناهمگنی موجود در تنش ها شاید یکی از بهترین گزینه ها در بررسی سیکلونها باشد.

مراجع:

1. Smagorinsky,J.,(1963).General experiments with the primitive circulation equation, I.The basic experiment, Month Wea Rev, 91: 99-164.
2. Boysan, F.,Ayers, W.,and Swithenbank, J.(1982).Fundamental mathematical modelling approach to cyclone design. Trans. Inst. Chem. Eng., V 60. NO.4, p. 222-230
3. Boyson, F.,Swithenbank, J.and Ayers, W. H., (1996). Mathematical odelling of gas particle flows in cyclone separators. Encyclopedia of Fluid Mechanics. Volume4 -Solids and Gas Flows.Chapter42.pp. 1307-1329(Gulf Publication.ISBN 87201-516-5).
4. Davidson,M.R.,(1988).Numerical calculations of flow in a hydrocyclone operating with out an air core. Appl Math Modelling, 12:119-128.
5. Kim, J. and Lee, K.(1990). Experimental study of particle collection by small cyclones. Aerosole Sci.Technol,12. p.1003-1015.
6. Gorton-Hulgerth, A. (1998). Messung und Be- rechnung der Geschwindigkeitsfelder und Partike- lbannenimGaszyklon.PhD-Thesis. Technical Uni-versity Graz.
7. Hoekstra, A., Derkzen, J., and Akker, H. V. D.(1999). An experimental and umerical study of turbulent swirling flow in gas cyclones.Chem.Eng.Science,54.p.2055-2065.
8. Fredricson, C.(1999). Exploratory experimental and teoretical studies of cyclone gasification of wood powder. PhD-Thesis. Lulea Tekniska Universitet.
9. J.O. Hinze. *Turbulence*. McGraw-Hill Publishing Co., New York,1975.
10. M.M.Gibson and B.E.Launder. Ground E_ects on Pressure Fluctuations in the Atmospheric Boundary Layer. *J. Fluid Mech.*,86:491{511, 1978.

$k - \epsilon$ که بر اساس ساختار همگن جریان آشفته بنا نهاده شده است قادر به پیش بینی این جریان برگشتی نیست، و جریان درون سیکلون را از نوع ∇ (حداکثر سرعت در هسته مرکزی) پیش بینی می کند. شاید بتوان دلیل این رفتار را در توزیع و چگونگی بررسی تنش ها در این دو مدل جستجو کرد. بر خلاف مدل *RSM* که هر یک از شش مؤلفه تنش رینولدز از معادلات انتقالی بدست می ایند، در *RNG* $k - \epsilon$ مدل $k - \epsilon$ مولفه تنش عمودی با هم برابر

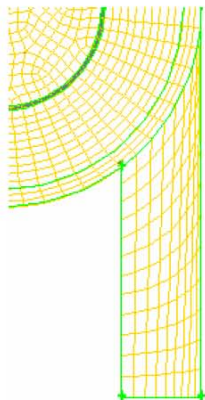
$$\text{بوده و } \frac{2}{3} \text{ ارزی جنبشی در نظر گرفته می شوند:}$$

$$\bar{u}^2 = \bar{v}^2 = \bar{w}^2 = 2k/3 \quad (5)$$

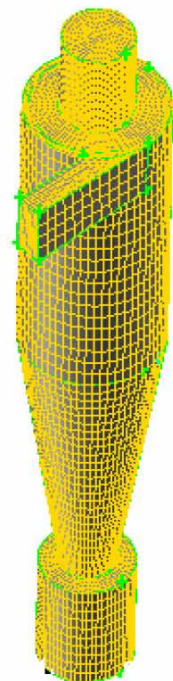
برای بررسی صحت این فرض ها شدت تنشهای رینولدز در شکل (۲۰)، در مقاطع $y = 0.38m$ ، بطور نمونه به تصویر کشیده شده است. همانطور که در شکل مشخص است در نواحی اطراف لوله مرکزی، یعنی از ساع $R = 0.05125$ تا $R = 0.125$ بدن سیکلون، که تخمین تنشهای عمودی با دقت معقولی در مدل *RNG* $k - \epsilon$ خمین زده شده است تطابق خوبی در نتایج دو مدل با نتایج آزمایشگاهی مشاهده می شود، اما در ساع های داخل لوله مرکزی (*vortex finder*)، که مابین تنشهای رینولدز تخمینی در مدل *RSM* و آنچه که در مدل *RNG* $k - \epsilon$ زده است اختلاف فاحشی وجود دارد، نتایج از هم فاصله گرفته و مدل *RNG* $k - \epsilon$ قادر به پیش بینی الگوی جریان نیست.

جمع بندی:

همانطور که از نمودارها بر می اید مدل *RNG* $k - \epsilon$ قادر به پیش بینی جریانهای با گزینش بالا، که ناهمگنی تنش ها در آنها نقش اساسی دارد نیست، بنا براین، این روش را می توان تنها برای بررسی جریانهای با سرعت کم یا جریانهایی که ناهمسانگردی زیادی در آنها وجود ندارد، مثل جریان اطراف لوله خروجی سیکلون بکار برد. الگوی جریان به شدت به ساختار مش بندی و گستته سازیهای با درجه بالا، (هر چند در این مقاله نتایج نمایش داده نشده است اما، در طی تحلیل سیکلون، گستته سازیهای درجه یک قادر به تخمین صحیح الگوهای جریان نبود)، وابسته است. بنا براین در بررسی چنین مواردی استفاده از المانهای غیر ساختاری بخصوص در هسته



شکل(۲)، نمایی از بالای سیکلون



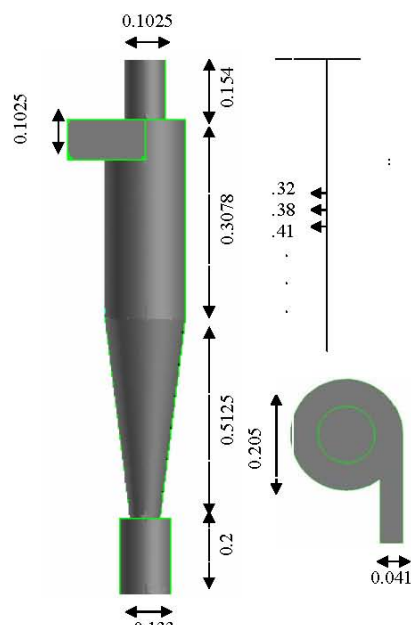
شکل(۳)، نمونه ای از هندسه مش بندی شده

11. B. E. Launder. Second-Moment Closure :Present... and Future? *Inter. J. Heat Fluid Flow*, 10(4):282{300, 1989.

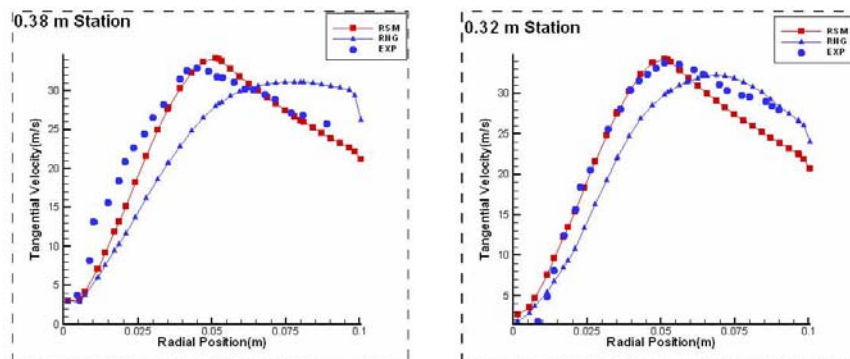
12. B.E.Launder, G. J. Reece, and W. Rodi. Progress in the Development of a Reynolds-Stress Turbulence Closure. *J. Fluid Mech.*, 68(3):537{566, April 1975.

13. Slack, M., Boysan, F. ,Prasad, R.,and Bakker, A.(2000). Advances in cyclone modelling using unstructured grids. *Trans .I.Chem.E.*, 78 Part A. p.1098-1104.

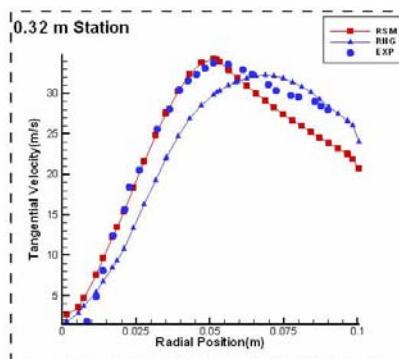
شکل ها و نمودارها:



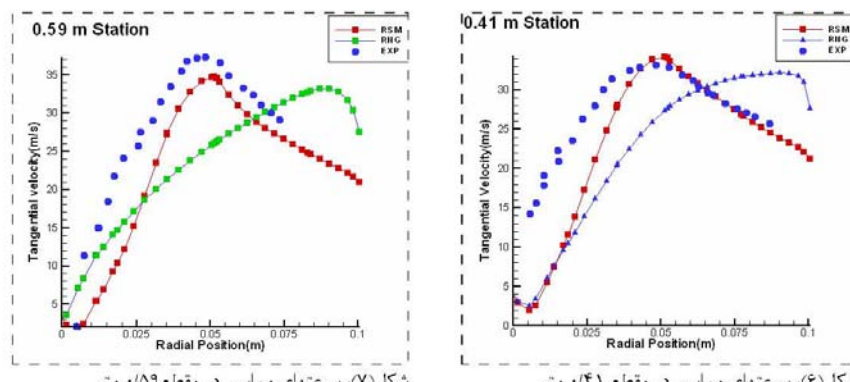
شکل(۱)، هندسه سیکلون



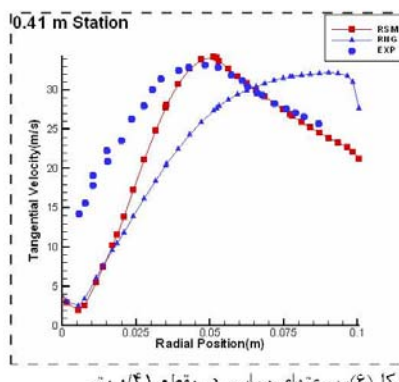
شکل(۵)، سرعتهای مماسی در مقطع ۰/۳۸ متر



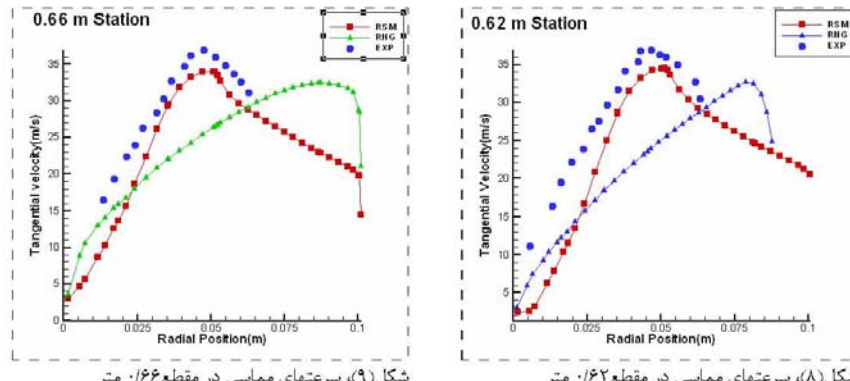
شکل(۶)، سرعتهای مماسی در مقطع ۰/۳۲ متر



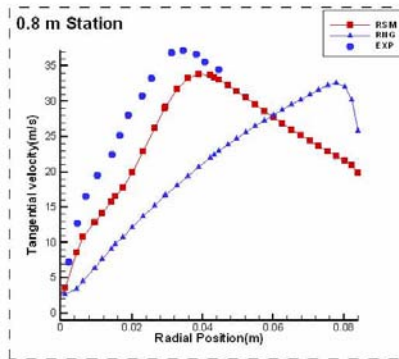
شکل(۷)، سرعتهای مماسی در مقطع ۰/۵۹ متر



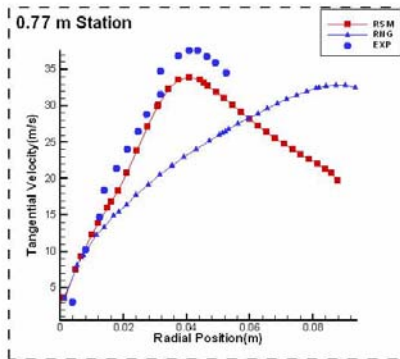
شکل(۸)، سرعتهای مماسی در مقطع ۰/۴۱ متر



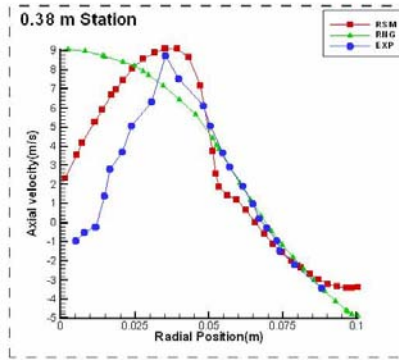
شکل(۹)، سرعتهای مماسی در مقطع ۰/۶۶ متر



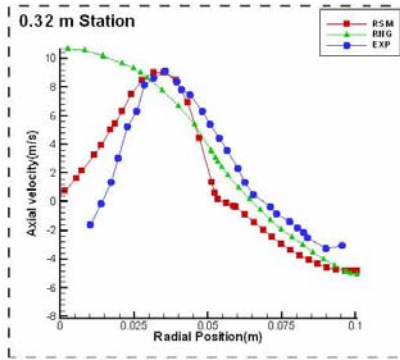
شکل(۱۱)، سرعتهای مماسی در مقطع ۰/۸ متر



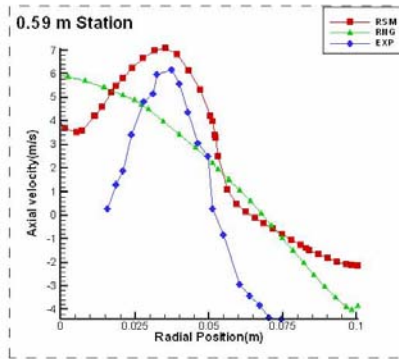
شکل(۱۰)، سرعتهای مماسی در مقطع ۰/۷۷ متر



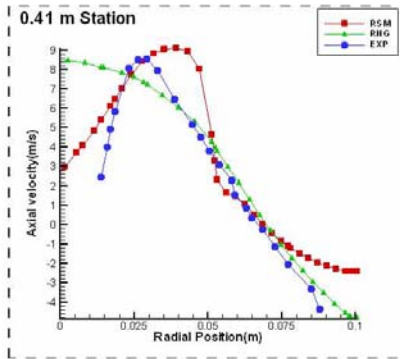
شکل(۱۲)، سرعتهای محوری در مقطع ۰/۳۸ متر



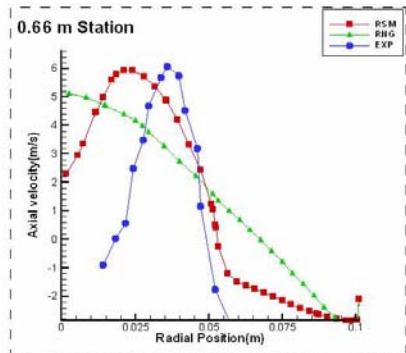
شکل(۱۳)، سرعتهای محوری در مقطع ۰/۳۲ متر



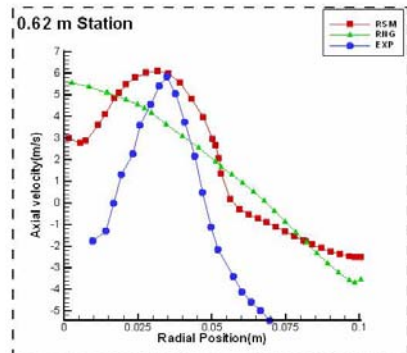
شکل(۱۵)، سرعتهای محوری در مقطع ۰/۵۹ متر



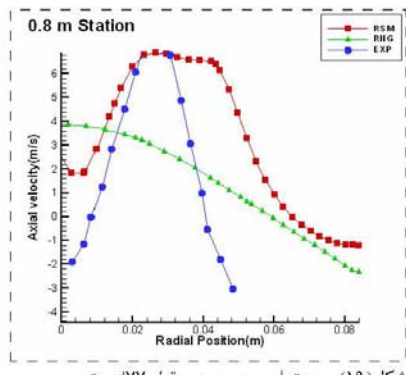
شکل(۱۴)، سرعتهای محوری در مقطع ۰/۴۱ متر



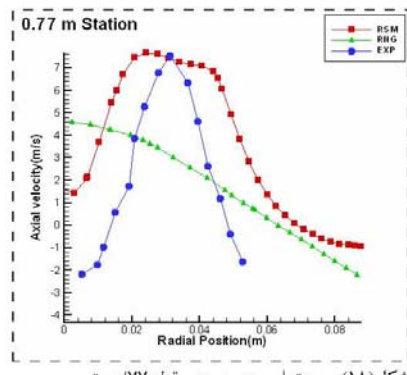
شکل(۱۷)، سرعتهای محوری در مقطع ۰/۶۶ متر



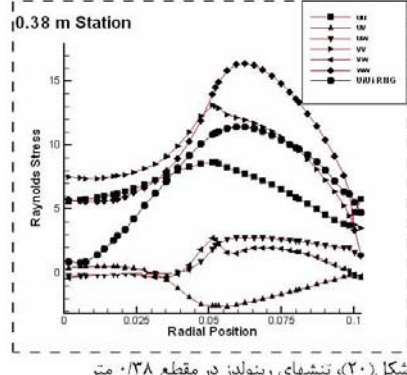
شکل(۱۶)، سرعتهای محوری در مقطع ۰/۶۲ متر



شکل(۱۹)، سرعتهای محوری در مقطع ۰/۸۰ متر



شکل(۱۸)، سرعتهای محوری در مقطع ۰/۷۷ متر



شکل(۲۰)، تنشهای رینولدز در مقطع ۰/۳۸ متر